

# محدودیت پایداری گذرا و هماهنگی حفاظتی در سیستم‌های توزیع دارای منابع پراکنده

سعید عدل<sup>۱،۲\*</sup>، غضنفر شاهقلیان<sup>۳،۴</sup>، بهادر فانی<sup>۲</sup>

- کارشناسی ارشد، دانشکده مهندسی برق، واحد نجف‌آباد، دانشگاه آزاد اسلامی، نجف‌آباد، ایران، saeed83adl@gmail.com
- دانشیار، دانشکده مهندسی برق، واحد نجف‌آباد، دانشگاه آزاد اسلامی، نجف‌آباد، ایران، shahgholian@iaun.ac.ir
- دانشیار، دانشکده مهندسی برق، واحد نجف‌آباد، دانشگاه آزاد اسلامی، نجف‌آباد، ایران، b.fani@pel.iaun.ac.ir
- مرکز تحقیقات ریز شبکه‌های هوشمند، واحد نجف‌آباد، دانشگاه آزاد اسلامی، نجف‌آباد، ایران

تاریخ پذیرش: ۱۴۰۰/۰۵/۲۵

تاریخ دریافت: ۱۴۰۰/۰۲/۱۶

**چکیده:** یکی از موارد جدی مربوط به منابع پراکنده اثر خطاهای سیستم بر پایداری گذرا آنها است که به دلیل اینرسی پایین ژنراتورها و عملکرد آهسته تجهیزات حفاظتی در سیستم‌های توزیع، ناپایداری گذرا آن‌ها کاملاً محتمل است. در این مقاله ابتدا رفتار دینامیکی منابع پراکنده بر روی خطاهای سیستم و سپس حساسیت منابع پراکنده به پارامترهای سیستم مورد بررسی قرار می‌گیرد. در مرحله بعد، برخی از تنظیمات حفاظتی عملی توضیح داده می‌شود که از آن به عنوان رله‌های نوعی ولتاژی استفاده می‌شود و مزایا و معایب آنها ذکر شده است. در نهایت بر اساس نتایج به دست آمده از تجزیه و تحلیل حساسیت، یک روش حفاظتی جدید برای حفظ پایداری منابع پراکنده در هنگام بروز خطا در شبکه توزیع پیشنهاد شده است. روش پیشنهادی، منابع پراکنده را مطابق یک رابطه زمان-توان اکتیو، از شبکه توزیع جدا می‌کند. برای کلیه موارد مورد بررسی، زمان پاکسازی خطا کمتر از زمان بحرانی پاکسازی است. همچنین نتایج شبیه‌سازی با استفاده از نرم‌افزار Etap، مقاوم بودن روش پیشنهادی را در برابر گذراهای سیستم نشان می‌دهد.

**واژه‌های کلیدی:** تولیدات پراکنده کوچک، پایداری گذرا، زمان بحرانی پاکسازی

موازات منبع اصلی عمل می‌کند، بهبود طرح‌های حفاظتی سیستم توزیع سنتی و استفاده از رله‌گذاری و تنظیم مناسب برای DG. از ضرورت‌های اصلی برای جلوگیری از ناپایداری ژنراتور خواهد بود. سیستم حفاظت DG می‌تواند به دو بخش اصلی تقسیم شود: حفاظت محل اتصال و رله‌گذاری واحد DG. به طور معمول، حفاظت محل اتصال در نقطه اتصال مشترک (PCC) بین ژنراتور و منبع اصلی نصب شده و توابع زیر را فراهم می‌کند [۱۷-۱۹]:

- قطع ژنراتور یا PCC زمانی که DG دیگر به موازات منبع اصلی کار نمی‌کند.
- حفظت منبع اصلی در برابر آسیب‌های ناشی از اتصال ژنراتور

مانند جریان خطای تغذیه شده توسط ژنراتور به جریان خطای

## ۱- مقدمه

تولیدات پراکنده<sup>۱</sup> (DGs) به عنوان یک منبع انرژی الکتریکی، به‌طور مستقیم به شبکه توزیع یک سیستم قدرت متصل می‌شود [۹-۱۱]. امروزه نصب و راه اندازی DG‌ها در سیستم‌های قدرت به علت مزایای آن‌ها از جمله کاهش تلفات، اصلاح پیک بار، کیفیت بالاتر توان، زمان ساخت کوتاه‌تر، کاهش احتمال از دست دادن بار، کاهش نیاز به توسعه انتقال و همچنین نگرانی‌های زیست محیطی، افزایش پیدا کرده است [۱۰-۱۲].

با این وجود، اتصال DG‌ها تغییراتی را در سیستم‌های توزیع موجود ایجاد می‌نماید و می‌تواند منجر به ناپایداری سیستم‌های قدرت و حتی خروج‌های ناخواسته گردد [۱۳-۱۶]. هنگامی که DG به

از قطع ناخواسته یک بخش تولیدی در شرایط نامتعارف است [۲۲، ۲۳].

تأثیر یک خطا در شبکه بر پایداری DGها در [۲۴] بررسی شده است. این مطالعه نشان می‌دهد که تنظیم کنونی رله‌های کاهش ولتاژ [۰/۸، پریونیت، ۲۰۰ میلی ثانیه]، که به عنوان تابع حفاظتی استفاده می‌شود، ممکن است به ازای وقوع اتصال کوتاه در سطح انتقال منجر به خروج وسیع واحدهای DG در یک منطقه بزرگ گردد. بنابراین، لازم است تنظیمات مناسب برای رله کاهش ولتاژ انجام گردد، تا با الزامات FRT مطابقت داشته باشد.

[۲۵] اثر حفاظت شبکه بر پایداری واحدهای DG مطالعه شده است و نشان داده شده است که تمامی واحدهای DG با استفاده از حفاظت UV قبل از اینکه خطای مربوطه توسط رله‌های حفاظتی پاک شود، از مدار خارج می‌گردد. بنابراین، این حفاظت برای جلوگیری از ناپایداری لازم است و نمی‌تواند غیر فعل شود.

اثر زمان پاکسازی خطا بر پایداری گذرا DGها در [۲۶] مورد مطالعه قرار گرفته است. این مطالعه نشان می‌دهد که برای شبکه‌های توزیع شامل DGها، تجزیه و تحلیل پایداری گذرا باید انجام گردد و تنظیمات حفاظتی بهمنظر جلوگیری از ناپایداری DGها اصلاح گردد. علاوه بر این، پیشنهاد می‌کند که تنظیم حفاظت کاهش ولتاژ بر اساس مطالعات پایداری گذرا تعیین گردد.

روش‌های مختلف موجود در مقالات و در عمل برای تشخیص شرایط خارج از سنکرونیزم وجود دارد، مانند: حفاظت دیستانس، شبکه‌های عصبی و طرح‌های مبتنی بر منطق فازی [۲۷].

در این مقاله روش جدیدی برای شناسایی شرایط خارج از سنکرونیزم واحدهای SG ارائه می‌گردد. روش پیشنهادی بر اساس نظریه معیار-ناحیه- مساوی است که برای تشخیص بین شرایط پایدار و خارج از سنکرونیزم استفاده می‌کند. در ادامه ساختار مقاله به این شرح است. در قسمت دوم سیستم مورد مطالعه اشاره می‌شود. طرح حفاظتی پیشنهادی براساس اندازه‌گیری توان اکتیو در قسمت سوم بیان شده است. در قسمت چهارم الگوریتم پیشنهادی براساس مقدار توان اکتیو در طول خطا توضیح داده شده است. در قسمت پنجم نتایج شبیه‌سازی و در نهایت در قسمت ششم نتیجه‌گیری مقاله آمده است.

## ۲- سیستم مورد مطالعه

در این مقاله، یک پست ۶۳/۲۰ کیلوولت واقعی شامل سه SSSG با استفاده از نرم افزار Etap شبیه‌سازی شده است. این ژنراتورها با استفاده از سه ترانسفورماتور به بسیار ۲۰ کیلو ولت متصل شده‌اند. نحوه اتصال این ترانسفورماتورها ستاره زمین شده (سمت منبع) مثلث (سمت تولیدات پراکنده) است که یک انتخاب مناسب برای یک ترانسفورماتور داخلی است [۲۸، ۲۹].

نوترال‌های ژنراتور با یک مقاومت به منظور محدود کردن جریان خطای تک فاز به زمین، زمین شده‌اند. فیدرهای خروجی شامل هردو

سیستم و اضافه ولتاژهای گذرا

۳- حفاظت از ژنراتور در برابر آسیب‌های ناشی از منبع اصلی از طرف دیگر نیز، حفاظت DG موارد حفاظتی اتصال کوتاه‌های داخلی ژنراتور و شرایط عملکرد نامتعارف را فراهم می‌کند. همچنین یکی از مهم‌ترین وظایف رله حفاظتی DG، تشخیص ناپایداری گذرا ژنراتور است. پایداری گذرا به عنوان توانایی سیستم قدرت برای حفظ سنکرونیزم در مقابل اختلالات شدید گذرا تعریف شده است.

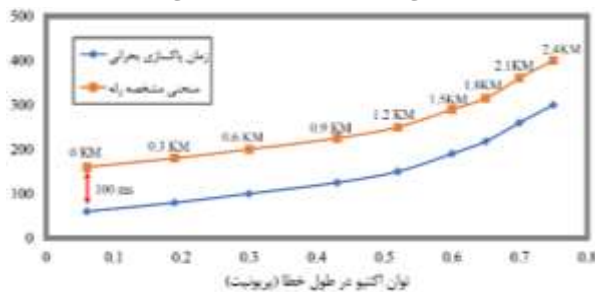
زمان پاکسازی بحرانی شاخص مهم مربوط به مفهوم پایداری گذرا است. در حال حاضر، بیشتر سیستم‌های DG از ژنراتورهای سنکرون استفاده می‌کنند. اکثریت قریب به اتفاق DGهایی که در کشور ایران نصب شده‌اند نیز ژنراتورهای سنکرون<sup>۳</sup> (SGs) هستند. برای یک SG، یک حداکثر زاویه روتور وجود دارد که منجر به حفظ عملکرد پایدار SG می‌گردد. زمان پاک شدن خط و اینرسی ژنراتور تاثیرات مهمی بر پایداری SG دارد. زمان پاک شدن خط برای سیستم انتقال حدود ۱۰۰ میلی ثانیه است. با این حال، این زمان برای شبکه‌های توزیع ممکن است بسیار طولانی تر شود. علاوه بر این، ثابت اینرسی SGهایی کوچک معمولاً کوچکتر از ۲ ثانیه است [۲۰]، در مقایسه با ثابت اینرسی برای SGهای بزرگ مقیاس که در حدود ۳ تا ۵ ثانیه است. با توجه به موارد ذکر شده، ناپایداری گذرا یک مساله جدی برای ژنراتورهای سنکرون مقیاس کوچک<sup>۳</sup> (SSSGs) مرتبط با شبکه‌های توزیع است. بنابراین، مطالعات عمیقی باید انجام گردد تا رفتار دینامیک این ژنراتورها در برابر خطاهای سیستم شناسایی شود.

از دست دادن شرایط سنکرونیزم برای یک ژنراتور در حال کار، یک مساله بسیار جدی بر صحت عملکرد الکتریکی و مکانیکی است. قابل ذکر است که خسارات شدیدی می‌تواند ناشی از این شرایط ایجاد گردد.

شرایط خارج از سنکرونیزم باعث انحراف گشتاور می‌شود که باعث ایجاد تنش‌های مکانیکی بالایی در بسیاری از قسمت‌های سیستم ژنراتور و سیستم اولیه می‌گردد که ممکن است چندین برابر گشتاور نامی سیستم باشد. قابل ذکر است که این گشتاور بیش از حد ممکن است باعث آسیب به شفت ژنراتور یا موتور اصلی شود [۲۱].

به دلایل قطعی‌های گسترده پس از وقوع خطای در شبکه، مزایای مورد انتظار از منابع انرژی پراکنده به طور قابل توجهی کاهش داده می‌شود. همچنین قطع ناگهانی یک واحد بزرگ DG می‌تواند بر عملکرد نرمال شبکه تأثیر معکوس بگذارد و ممکن است باعث وقوع کاهش ولتاژ و اضافه بار در شبکه گردد. بهمنظر جلوگیری از عدم تعادل بزرگ بین تولید و مصرف به دلیل قطع واحدهای DG، برخی از کدهای شبکه الزامات گذرا از خط<sup>۴</sup> (FRT) تعریف شده‌اند. کدهای جدید شبکه، سیستم‌های تولید انرژی پراکنده را ملزم می‌کنند تا در هنگام خطای به شبکه قدرت متصل بمانند تا از قطع شدن گسترده زنجیره‌وار آن‌ها جلوگیری شود. هدف از الزامات گذرا از خط جلوگیری

مورد با الزامات گذار از خطاب مطابقت دارد. منحنی به دست آمده برای تعیین زمان عملکرد مناسب رله پیشنهادی مبتنی بر محل خطاب، قبل از وقوع ناپایداری گذرا SSSG استفاده می‌شود. یک منحنی مشخصه معکوس مناسب باید برای رله حفاظتی مبتنی بر توان اکتیو پیشنهادی انتخاب شود. با در نظر گرفتن زمان عملکرد کلید قدرت و همچنین یک حاشیه امنیت بهمنظور تضمین عملکرد این رله پیشنهادی، یک اختلاف زمانی ۱۰۰ میلی ثانیه به عنوان حاشیه بین منحنی مشخصه رله پیشنهادی و منحنی CCT-P در نظر گرفته می‌شود.



شکل (۲): منحنی‌های مشخصه رله و CCT به ازای P

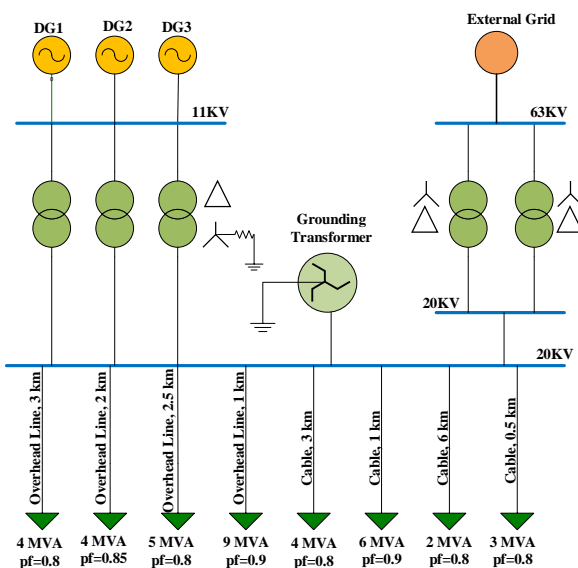
#### ۴- الگوریتم پیشنهادی

برای رله پیشنهادی مبتنی بر توان اکتیو، ورودی‌های سه فاز ولتاژ و جریان‌های اندازه‌گیری شده در ترمینال SSSG نمونه‌برداری می‌شوند. این الگوریتم براساس مقدار توان اکتیو در طول خطاب است. بنابراین، فازورهای تمام ولتاژها و جریان‌های ورودی باید محاسبه شوند. با استفاده از این فازورها، توان اکتیو کل محاسبه می‌گردد. توان اکتیو محاسبه شده براساس این روش، نوسان ناچیز دارد که بر زمان عملکرد رله به طور قابل توجهی تاثیر نمی‌گذارد. بنابراین، می‌تواند یک روش ساده و کارآمد برای محاسبه توان اکتیو باشد.

با توجه به منحنی‌های مشخصه رله و CCT به‌ازای توان اکتیو، دامنه عملکرد رله بهمنظور تضمین عملکرد این رله در طول گذراهای سیستم (توان اکتیو کمتر از  $0/8$  پریونیت) محدود شده است. حالتهای گذراهای سیستم به عنوان مثال حذف بار می‌تواند باعث نوسان توان در سیستم شود. این نوسانات می‌تواند عملکرد این رله را به خطر بیندازد. با در نظر گرفتن بازه محدودیت، عملیات این رله پیشنهادی را می‌توان تضمین نمود.

برای افزایش امنیت طرح پیشنهادی، فازورهای جریان سه فاز برای بلاک کردن رله در حالت حذف بار مورد استفاده قرار می‌گیرد. این منطق براساس این حقیقت استوار است که اگر جریان فازورها برای دو فاز از سه فاز بزرگ‌تر از  $1/5$  پریونیت باشد، نشان می‌دهد که یک خطاب رخ داده است. در غیر این صورت، رله بلاک می‌شود. این یک منطق مناسب است زیرا تغییر بار جریان‌های ژنراتور را تا  $1/5$  پریونیت افزایش نمی‌دهد. تشخیص یک خطاب رله مبتنی بر توان اکتیو رافعال می‌سازد. اگر توان محاسبه شده کمتر از  $0/8$  پریونیت باشد، براساس منحنی مشخصه رله، زمان عملکرد رله محاسبه می‌شود و مقدار

خط هوایی و کابلی هستند که می‌توانند تمام شرایط ممکن را جهت مطالعه ایجاد نمایند. شبکه ۶۳ کیلوولت توسط معادل تونن بعنوان شبکه خارجی مدل‌سازی شده است. سیستم مورد مطالعه در شکل (۱) نشان داده شده است.



شکل (۱): سیستم مورد مطالعه

#### ۳- طرح حفاظت پیشنهادی

برای خطاهای دو فاز و خطاهای سه فاز در مکان دور، مقدار CCT بسیار بیشتر از خطاهای نزدیک به آن است. برای این خطاهای سیستم حفاظت به زمان کافی برای قطع فیدر معمیوب از شبکه قبل از وقوع ناپایداری گذرا SSSG را دارد و لازم نیست بلافتله ژنراتور را قطع کند. بنابراین طرح حفاظتی باید خطاهای را با توجه به اهمیت آن‌ها از نقطه نظر پایداری گذرا، تشخیص دهد.

روش پیشنهادی عمدتاً براساس معیار مساحت برابر است. یعنی پایداری ژنراتور به طور عمد وابسته به توان اکتیو خروجی خود در طول خطاب است. مقدار بیشتری از توان منتقل شده در طول خطاب ناحیه متغیر را افزایش داده و حاشیه پایداری ژنراتور را افزایش می‌دهد. بنابراین، توان اکتیو ژنراتور در طول خطاب را می‌توان به عنوان یک شاخص مناسب برای پیش‌بینی ناپایداری آن در نظر گرفت.

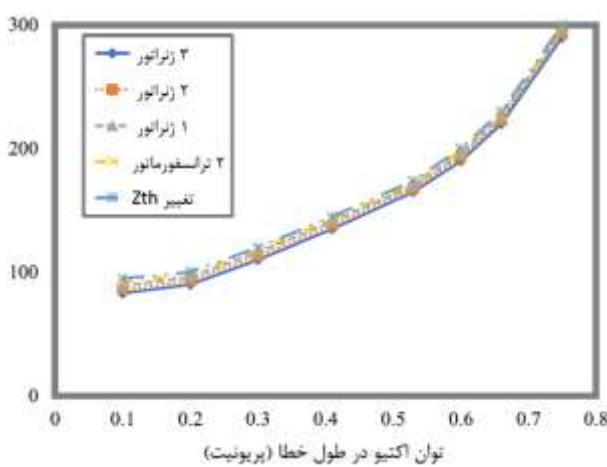
توان اکتیو خروجی ژنراتور در طول خطاهای سه فاز کاهش می‌یابد و سپس ثابت می‌شود. با درنظر گرفتن تاخیر در محاسبه توان اکتیو (P)، مقدار P بعد از  $50$  میلی ثانیه از شروع خطاب برای خطاهای سه فاز در فواصل محاسبه می‌شود.

منحنی P به ازای CCT برای این خطاهای در شکل (۲) نشان داده شده است. فاصله خطاب از بس بار نیز در این شکل نشان داده شده است. مقادیر بالاتر توان اکتیو منتقل شده و CCT متناظر به‌ازای خطاهای دورتر هستند. بنابراین برای خطاهای دورتر، زمان کافی برای قطع ژنراتور قبل از ناپایدار شدن وجود دارد. این امر زمان بیشتری را برای متصل نگه داشتن ژنراتور متصل به شبکه فراهم می‌کند و این

برخی از رله‌های کلاسیک، مخصوصاً رله UV، به عنوان یک روش کلاسیک برای حفاظت از SG در برابر ناپایداری گذرا به کار برده شده‌اند. با این حال، ممکن است ژنراتور با این رله برای شرایط غیر ضروری مانند خطاهای دو فاز و سه فاز دوردست قطع شود. همچنین زمان پاکسازی خطاهای پیشنهادی توسط رله UV برابر ۱۶۰ میلی‌ثانیه است [۳۰]. این زمان کوتاه، منجر به عدم هماهنگی رله UV با سیستم پایین دست می‌شود. بنابراین نه تنها رله حفاظتی فیدر خروجی شامل خطاهای اتصال کوتاه دو فاز و سه فاز عمل می‌کند، بلکه ژنراتور را بر رله UV قطع می‌شود که در دسترس پذیری DG را کاهش می‌دهد [۳۱]. این روش یک طرح بسیار مقاوم و قابل اطمینان برای حفاظت از ژنراتور در برابر ناپایداری و همچنین مطابق با الزامات FRT ژنراتور است.

### ۱-۵- مقاوم بودن الگوریتم

برای بررسی مقاومت الگوریتم، رله پیشنهادی در شرایط عملکرد مختلف سیستم، چندین شرایط ممکن مورد بررسی قرار گرفته است. این شرایط شامل تغییر در ظرفیت اتصال کوتاه شبکه خارجی، تغییر در تعداد ژنراتورها و تغییر تعداد ترانسفورماتور اتصال دهنده است. به منظور بررسی این شرایط مجدداً سیستم مورد مطالعه استفاده می‌شود. برای بررسی عملکرد مورد اطمینان رله در تمام این شرایط کافی است که تغییرات در منحنی مشخصه رله بررسی شود. شکل (۳) حساسیت مشخصه رله را نسبت به تغییرات سیستم نشان می‌دهد. در این شکل، "ترانسفورماتور" مربوط به زمانی است که یکی از ترانسفورماتورها اتصال قطع شده است. در شرایط دوم ("امپدانس تونن تغییر کرده")، سه ترانسفورماتور اتصال موجود در سیستم است در حالی که ظرفیت اتصال کوتاه شبکه خارجی افزایش می‌یابد. به عبارت دیگر، امپدانس معادل شبکه خارجی کاهش می‌یابد



شکل (۳): منحنی مشخصه رله برای تغییرات مختلف در سیستم

### ۲-۵- اثرات گذرای سیستم

شمارش گر رله افزایش می‌یابد. این فرآیند تا زمانی که مقدار شمارنده برای یک باشد ادامه خواهد یافت. در این حالت سیگنال تریپ به قطع کلید قدرت ارسال خواهد شد. این استراتژی تنظیم مجدد، الگوریتم را قادر می‌سازد که بهارای خطاهای دو فاز قطع نکند. در طول این خطاهای، مقدار توان اکتیو ژنراتور در طول خطای افزایش می‌یابد و بیشتر از  $0.8$  پریونیت می‌شود، بنابراین رله مجدداً راهاندازی خواهد شد. باید دقت شود که مقدار از پیش تنظیم شده ( $0.8$  پریونیت) با توجه مقدار بار ژنراتور در حالت پایدار قبل از خطای و نه توان نامی ژنراتور است. مطابق الگوریتم، زمان رله پیشنهادی متناسب با مقدار SSSG متصل به سیستم مورد مطالعه) از یکی از چهار حالت مشاهده شده و به کمک چهار گروه تنظیمی متفاوت محاسبه می‌گردد.

## ۵- نتایج شبیه‌سازی

در این قسمت سیستم مورد مطالعه برای بررسی عملکرد روش پیشنهادی استفاده شده است. جدول (۱) زمان پاکسازی، زمان قطع ژنراتور و CCT برای انواع مختلف خطاهای در محل‌های مختلف خطوط هوایی به طول سه کیلومتر را نشان می‌دهد.

جدول (۱): زمان کافی و CCT برای خطاهای متفاوت

نوع خطای محل خطا	زمان پاکسازی (میلی ثانیه) بهرایی (میلی ثانیه)	زمان پاکسازی (میلی ثانیه) با بار
تک‌فاز- باس بار	بدون عملکرد	پایدار
دو‌فاز- باس بار	بدون عملکرد	۸۲۷
سه‌فاز- باس بار	۱۳۹	۱۶۰
سه‌فاز- ۰/۳ کیلومتر	۱۵۳	۱۷۸
سه‌فاز- ۰/۶ کیلومتر	۱۷۸	۱۹۸
سه‌فاز- ۰/۹ کیلومتر	۲۱۰	۲۲۲
سه‌فاز- ۱/۲ کیلومتر	۲۴۴	۲۵۲
سه‌فاز- ۱/۵ کیلومتر	۲۷۷	۲۸۶
سه‌فاز- ۱/۸ کیلومتر	۳۰۸	۳۲۰
سه‌فاز- ۲/۱ کیلومتر	۳۳۲	۳۶۳
سه‌فاز- ۲/۴ کیلومتر	۳۵۰	۴۰۷
سه‌فاز- ۲/۷ کیلومتر	بدون عملکرد	۴۵۱
سه‌فاز- ۳ کیلومتر	بدون عملکرد	۴۹۵

در این جدول، محل خطای فاصله خطای از باس بار را نشان می‌دهد و زمان پاکسازی شامل زمان عملکرد رله با در نظر گرفتن زمان عملکرد کلید قدرت است که  $80$  میلی ثانیه در نظر گرفته شده است. نتایج نشان می‌دهد که برای تمامی موارد مورد مطالعه، زمان پاکسازی کمتر از مقدار CCT است. همچنین برای خطاهای تک فاز به زمین، دو فاز و سه فاز در انتهای خط که پایداری گذرای ژنراتورها را به خطر نمی‌اندازد، زمان کافی برای پاک کردن خط وجود دارد و نیازی به قطع سریع ژنراتورها نیست. برای این خطاهای، رله‌های حفاظتی دیگری با تاخیر زمانی کافی ژنراتور را محافظت می‌کنند.

همان طور که در این شکل نشان داده شده، مقدار توان بیشتر از ۰/۸ پریونیت است و بنابراین، رله فعال نمی‌شود. شکل (۵) توان اکتیو کل و مقدار شمارنده برای حالت خطای گذرا را نشان می‌دهد. برای این خطا، شمارنده مدت کوتاهی افزایش می‌یابد، اما به سرعت ریست می‌گردد. این نتایج نشان می‌دهد که طرح حفاظت پیشنهادی دارای یک عملیات ایمن در طول حالت گذراهای سیستم است.

### ۵-۳- قابلیت اجرایی الگوریتم

به عنوان یک مطالعه تکمیلی، بررسی امکان به کارگیری الگوریتم پیشنهادی برای یک منبع پراکنده کوچک، به عنوان مثال یک SG با توان ۸۸۰ کیلووات آمپر، ۰/۴ کیلو ولت متصل به باس بار ۲۰ کیلوولت شبیه‌سازی شده است. زمان پاکسازی خطا در مقایسه با CCT در جدول (۴-۳) نشان داده شده است. از آنجا که ژنراتور قبل از CCT قطع شده است، طرح حفاظت پیشنهادی قبیل از وقوع ناپایداری گذرا برای ژنراتور کوچک‌تر عمل می‌کند.

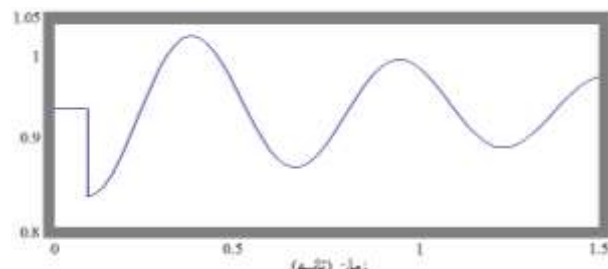
جدول (۲): عملکرد رله پیشنهادی برای یک ژنراتور کوچک‌تر

زمان پاکسازی (میلی ثانیه)	زمان پاکسازی (میلی ثانیه)	نوع خطا - محل خطای
پایدار	بدون عملکرد	تکفار- باس بار
۷۴۱	بدون عملکرد	دوفار- باس بار
۱۴۲	۱۲۸	سه فاز- باس بار
۱۵۷	۱۴۰	سه فاز- ۰/۳ کیلومتر
۱۷۲	۱۵۹	سه فاز- ۰/۶ کیلومتر
۱۹۲	۱۸۰	سه فاز- ۰/۹ کیلومتر
۲۱۲	۱۹۵	سه فاز- ۱/۲ کیلومتر
۲۳۵	۲۰۹	سه فاز- ۱/۵ کیلومتر
۲۵۸	۲۲۱	سه فاز- ۱/۸ کیلومتر
۲۸۲	۲۳۰	سه فاز- ۲/۱ کیلومتر
۳۰۵	۲۳۶	سه فاز- ۲/۴ کیلومتر
۳۲۵	۲۴۱	سه فاز- ۲/۷ کیلومتر
۳۴۴	بدون عملکرد	سه فاز- ۳ کیلومتر

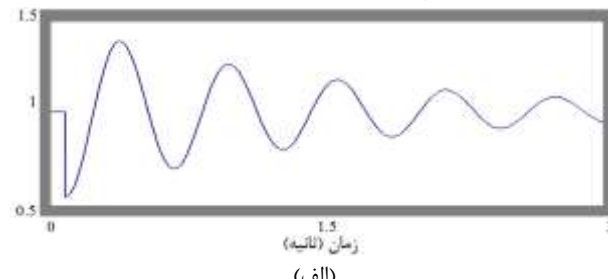
### ۶- نتیجه‌گیری

در این مقاله به منظور بررسی رفتار دینامیک منابع تولید پراکنده در برابر خطاهای سیستم، حساسیت CCT واحدهای SDG به پارامترهای سیستم بررسی شد. سپس یک روش حفاظت با استفاده از رله‌های حفاظتی موجود و بر اساس نوع فیدرهای خروجی مورد بررسی قرار گرفت و مشکلات آن بیان گردید. با استفاده از نتایج به دست آمده، یک الگوریتم برای محافظت از ژنراتورها در برابر ناپایداری گذرا پیشنهاد گردید که در آن توان اکتیو خروجی SDG در طول خطای CCT برای استخراج مشخصه رله مورد استفاده قرار گرفت. برای بررسی مقاومت الگوریتم حفاظتی پیشنهادی در شرایط عملکرد مختلف سیستم، چندین شرایط ممکن بررسی شد. نتایج بیان کننده

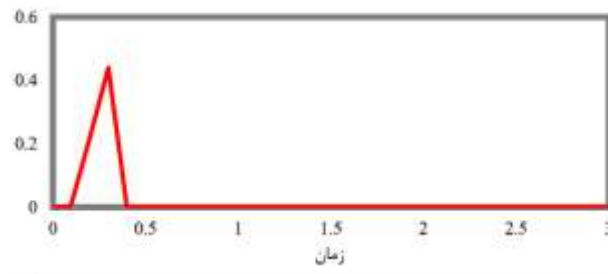
یک طرح حفاظتی ایمن باید در طول گذراهای سیستم قادر به درستی عمل کند. طرح حفاظتی پیشنهادی عمدتاً براساس توان اکتیو ژنراتور است. بنابراین، نوسانات توان نباید بر عملکرد الگوریتم پیشنهادی تأثیر بگذارد. در این بخش، عملکرد الگوریتم پیشنهادی در طول گذراهای سیستم مورد آزمایش قرار می‌گیرد. برای انجام این کار، یک حذف بار بزرگ و خطای گذرا در سیستم قرار می‌گیرد. توان اکتیو کل ژنراتور در طول شرایط حذف بار در شکل (۴) نشان داده شده است.



شکل (۴): توان اکتیو ژنراتور در طول شرایط حذف بار



(الف)



(ب)



شکل (۵): شرایط خطای گذرا : (الف) توان اکتیو و (ب) سیگنال تریپ

- Industry Applications, Vol. 56, No. 1, pp. 864 – 875, Jan./Feb. 2020.
- [11] S. Rajamand, A. Ketabi, A. Zahedi, "Simultaneous power sharing and protection against faults for DGs in microgrid with different loads", Energy Equipment and Systems, vol. 7, no. 3, pp. 279-295, 2019
- [12] H. Fayazi, M. Moazzami, B. Fani, G. Shahgholian, "A first swing stability improvement approach in microgrids with synchronous distributed generators", International Transactions on Electrical Energy Systems, vol. 31, no. 4, Article Number: e12816, April 2021.
- [13] P. Rodriguez, A. V. Timbus, R. Teodorescu, M. Liserre, F. Blaabjerg, "Flexible active power control of distributed power generation systems during grid faults", IEEE Trans. on Industrial Electronics, vol. 54, no. 5, pp. 2583– 2592, Oct. 2007.
- [14] F. Zandi, B. Fani, A. Golsorkhi, "A visually driven nonlinear droop control for inverter-dominated islanded microgrids", Electrical Engineering, vol. 102, pp. 1207-1222, 2020.
- [15] Y. Pan, L. Chen, X. Lu, J. Wang, F. Liu, S. Mei, "Stability region of droop-controlled distributed generation in autonomous microgrids", IEEE Trans. on Smart Grid, vol. 10, no. 2, pp. 2288-2300, March 2019.
- [16] H. Zhou et al., "Modeling and synchronization stability of low-voltage active distribution networks with large-scale distributed generations", IEEE Access, vol. 6, pp. 70989-71002, 2018.
- [17] C. J. Mozina, "Interconnect protection of dispersed generators", Proceeding of the IEEE/TDC, vol. 2, pp. 707-723, Nov. 2001.
- [18] S. J. Huang, F. S. Pai, "A new approach to islanding detection of dispersed generators with self-commutated static power converters", IEEE Trans. on Power Delivery, vol. 15, no. 2, pp. 500-507, April 2000.
- [19] P. Naisani, D. Tholomier, T. Yip, G. Lloyd, "Protection of distributed generation (DG) interconnection", Proceeding of the IEEE/CPRE, pp. 1-17, March/April 2010.
- [20] W. Freitas, J. C. M. Vieira, A. Morelato, L. C. P. Silva, V. F. Costa, F. A. B. Lemos, "Comparative analysis between synchronous and induction machines for distributed generation applications", IEEE Trans. on Power Systems, vol. 21, no. 1, pp. 301-311, Feb. 2006.
- [۲۱] فیاضی حسن، معظمنی مجید، فانی بهادر، شاهقلیان غضنفر، "هماهنگی تجهیزات حفاظتی در ریز شبکه های مبتنی بر ژنراتور سنکرون با در نظر گرفتن حفظ پایداری نوسان اول"، روش های هوشمند در صنعت برق، س. ۱۴، ش. ۵۴، ص. ۱۴-۱، ۱۴۰۲ تابستان
- [22] E. J. Coster, J. M. A. Myrzik, W. L. Kling, "Effect of grid disturbances on fault-ride-through behaviour of MV-connected DG-units, in especially CHP-plants", Proceeding of the IEEE/CIGREpp. 1-11, 2009.
- [23] M. Alberdi, M. Amundarain, A. J. Garrido, I. Garrido, F. J. Maseda, "Fault-ride-through capability of oscillating-water-column-based wavepower-generation plants equipped with doubly fed induction generator and airflow control", IEEE Trans. on Industrial Electronics, vol. 58, no. 5, pp. 1501–1517, May 2011.
- [24] I. Xyngi, A. Ishchenko, M. Popov, L. V. Sluis, "Protection, transient stability and fault ride-through issues in distribution networks with dispersed generation", Proceeding of the IEEE/UPEC, pp. 1-5, Italy, Sept. 2008.

عملکرد مناسب طرح پیشنهادی است. از طرف دیگر با توجه به اینکه طرح حفاظتی پیشنهادی عمدتاً براساس توان اکتیو ژنراتور است، بنابراین نوسانات توان نباید بر عملکرد اینم الگوریتم پیشنهادی تاثیر بگذارد. بررسی این مورد نیز به کمک شبیه‌سازی حالت‌های گذراي سیستم بررسی گردید.

## مراجع

- [۱] درویشی پوریا، براتی حسن، "بازآرایی و جایابی بهینه منابع تولید پراکنده (DGs) در شبکه توزیع در حضور شین کنترل ولتاژ از راه دور با استفاده از الگوریتم بازار بورس"، نشریه تحقیقات نوین در برق، س. ۷، ش. ۲، ص. ۱۳۹۷، ۲۴-۱۳.
- [۲] سالاری مجید، حقیقت‌دار فشارکی فریبرز، "جایابی و تعیین اندازه بهینه خازن‌ها و منابع تولید پراکنده با هدف بهبود قابلیت اطمینان و حداقل نمودن تلفات در شبکه‌های توزیع"، روش‌های هوشمند در صنعت برق، س. ۱۱، ش. ۴۳، ص. ۹۴-۸۳. ۱۳۹۹
- [۳] فرخ‌فر اسماء، براتی حسن، "جایابی مکان و تعیین اندازه بهینه منابع تولید پراکنده و خازن‌های موازی به صورت همزمان به کمک الگوریتم سینوس-کسینوس (SCA) در سیستم‌های توزیع شعاعی"، تحقیقات نوین در برق، س. ۵، ش. ۱، ص. ۴۴-۵۱. ۱۳۹۵
- [۴] بر جعلی نوهی رامین، نظرپور اکبری داریوش، غنی‌زاده رضا، عالمی پیام، "بهبود عملکرد شبکه توزیع با استراتژی هماهنگی بانک‌های خازنی قابل کلیدزنی و بازآرایی دینامیکی شبکه در حضور منابع تولید پراکنده"، روش‌های هوشمند در صنعت برق، س. ۱۲، ش. ۴۸، ص. ۵۹-۴۳. ۱۴۰۰
- [۵] مهدویان مهدی، بهزادفر نداء، "مروری بر سیستم تبدیل انرژی بادی و کاربرد انواع ژنراتور القایی"، تحقیقات نوین در برق، س. ۸، ش. ۴، ص. ۵۵-۶۶. ۱۳۹۸
- [6] G. Shahgholian, "A brief review on microgrids: Operation, applications, modeling, and control", International Transactions on Electrical Energy Systems, vol. 31, no. 6, Article Number: e12885, 2021.
- [7] M. Ahmadi Kamarpashti, A. Hejri, "Optimal location of surge arresters in distribution network considering reliability and technical and economic factors to reduce costs using ICA algorithm", International Journal of Smart Electrical Engineering, vol. 10, no. 1, pp. 7-16, 2021.
- [8] Y. Mohammadi, R. C. Leborgne, "A new approach for voltage sag source relative location in active distribution systems with the presence of inverter-based distributed generations", Electric Power Systems Research, Vol. 182, Article 106222, May 2020
- [9] S. Jamali, H. Borhani-Bahabadi, "Protection method for radial distribution systems with DG using local voltage measurements", IEEE Trans. on Power Delivery, vol. 34, no. 2, pp. 651-660, April 2019
- [10] S. Hasan, A. R. Nair, R. Bhattacharai, S. Kamalasadan, K. M. Muttaqi, "A coordinated optimal feedback control of distributed generators for mitigation of motor starting voltage sags in distribution networks", IEEE Trans. on

- [25] E. J. Coster, J. M. A. Myrzik, W. L. Kling, “*Influence of protection on transient stability of medium voltage grids including distributed generation*”, Proceeding of the IEE-EUPEC, pp. 1054-1059, England, Sept. 2007.
- [26] I. Xyngi, A. Ishchenko, M. Popov, L. V. Sluis, “*Transient stability analysis of a distribution network with distributed generators*”, IEEE Trans. on Power Systems, vol. 24, no. 2, pp. 1102–1104, May 2009.
- [27] S. Paudyal, G. Ramakrishna, M. S. Sachdev, “*Application of equal area criterion conditions in the time domain for out-of-step protection*”, IEEE Trans. on Power Delivery, vol. 25, no. 2, pp. 600–609, April 2010.
- [28] R. F. Arritt, R. C. Dugan, “*Distributed generation interconnection transformer and grounding selection*”, Proceeding of the IEEE/PESGM, pp. 1–7, July 2008.
- [29] S. Zhu, L. Geng, J. Zheng, X. Wang, D. Choi, Y. Li, “*Selection method of transformer interconnecting distributed generation and distribution networks*”, Proceeding of the IEEE/TS-ASIA, pp. 1-4, Oct. 2009.
- [30] IEEE Standard for Interconnecting Distributed Resources with Electric Power Systems, IEEE Std. 1547-2003, 2003.
- [31] I. Xyngi, A. Ishchenko, M. Popov, L. V. Sluis, “*Transient stability analysis of a distribution network with distributed generators*”, IEEE Trans. on Power Systems, vol. 24, no. 2, pp. 1102–1104, May 2009.

### زیرنویس‌ها

1. Distributed Generators
2. Synchronous generators (SGs)
3. Small scale SGs (SSSGs)
4. Fault Ride Through (FRT)

# Transient Stability Constraints and Protective Coordination in Distributed Resource Distribution Systems

Saeed Adl<sup>1,4</sup>, Ghazanfar Shahgholianzaban<sup>2,4</sup>, Bahdor Fani<sup>3,4</sup>

1- MSc Student, Department of Electrical Engineering, Najafabad Branch, Islamic Azad University, Najafabad, Iran, saeed83adl@gmail.com

2- Associate Professor, Department of Electrical Engineering, Najafabad Branch, Islamic Azad University, Najafabad, Iran, shahgholian@iaun.ac.ir

2- Associate Professor, Department of Electrical Engineering, Najafabad Branch, Islamic Azad University, Najafabad, Iran, b.fani@pel.iaun.ac.ir

4- Smart Microgrid Research Center, Najafabad Branch, Islamic Azad University, Najafabad, Iran

**Abstract:** One of the serious issues related to these sources is the effect of system errors on their transient stability, which due to the low inertia of the generators and the slow performance of protection equipment in distribution systems, their transient instability is quite possible. In this paper, first the dynamic behavior of scattered sources on system errors and then the sensitivity of scattered sources to system parameters are investigated. In the next step, some practical protection settings are explained, which are used as voltage relays, and their advantages and disadvantages are mentioned. Finally, based on the results of sensitivity analysis, a new protection method has been proposed to maintain the stability of scattered resources in the event of an error in the distribution network. The proposed method separates scattered resources from the distribution network according to an active time-power relationship. For all cases under review, the error clearance time is less than the critical clearance time. The simulation results also show that the proposed method is resistant to system transitions.

**Keywords:** Small dispersed products, Transient stability, Critical clearance time